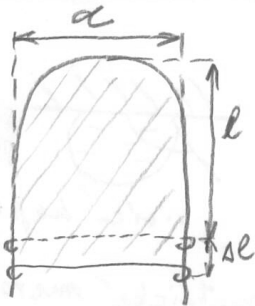
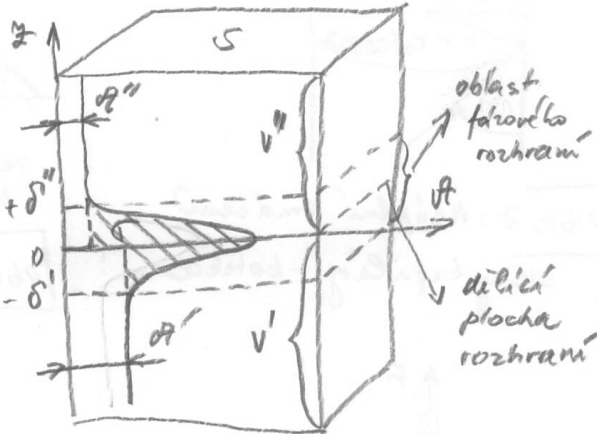


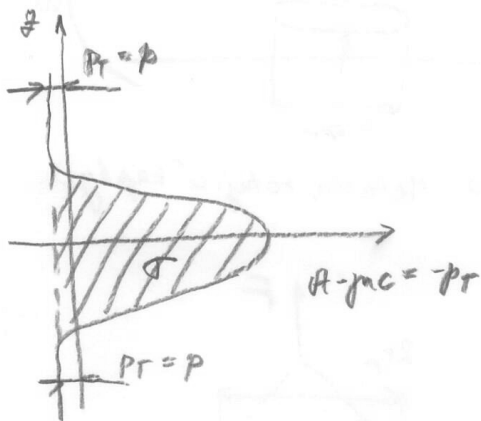
Obrázky pro učební text k předmětu KFC/HS Heterogenní systémy



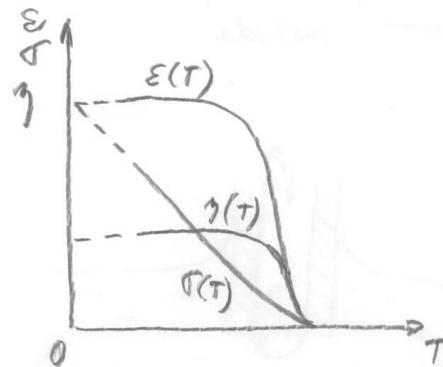
Obr. 1: Náčrt Duprého pokusu.



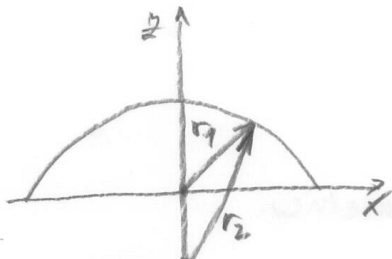
Obr. 2: Schéma dvoufázové soustavy s přebytkem energie σ na fázovém rozhraní.



Obr. 3: Přebytek energie na fázovém rozhraní vyjádřený modelem A - pnc.



Obr. 4: Závislost povrchových energetických veličin na T.

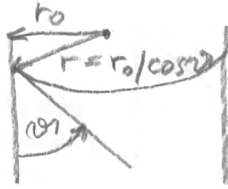


Obr. 5: Poloměr zakřivení nekulového povrchu



Obr. 6: Kapilární elevace

Obrázky pro učební text k předmětu KFC/HS Heterogenní systémy



Obr. 7: Neúplní smáčivost
stejných kapilár - kotečka.

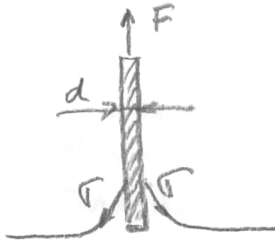


sedící
kapka

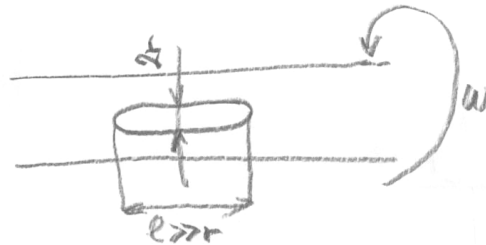


visící kapka

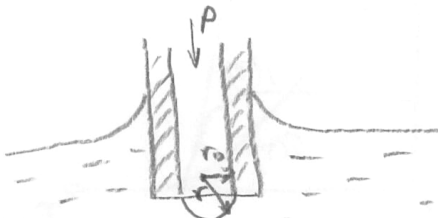
Obr. 8: Geometrické metody
měření α .



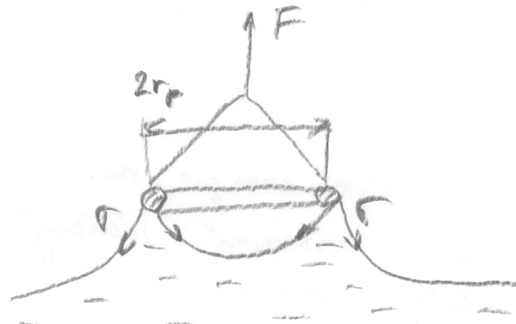
Obr. 9: Wilhelmyho
metoda



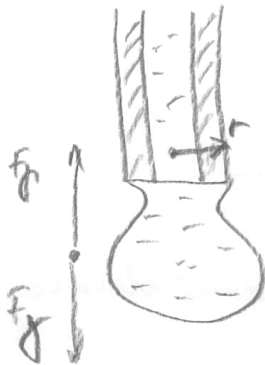
Obr. 10: Metoda rotující kapky



Obr. 11 Metoda největšího
Haber bubling

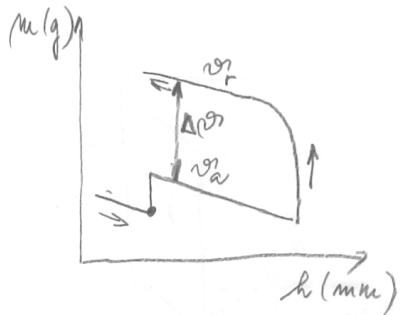


Obr. 12 de Noüyho metoda

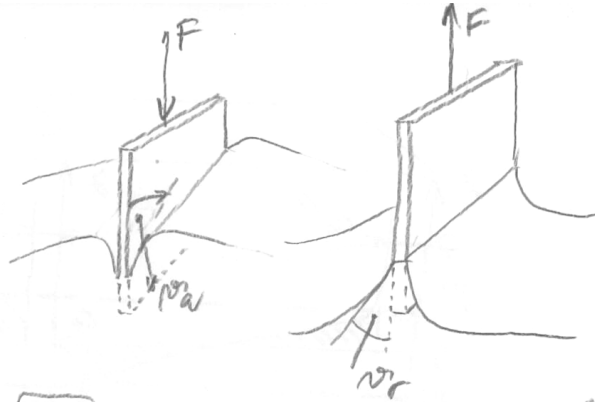


Obr. 13 Stalagmometrie

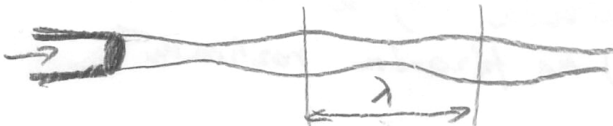
Obrázky pro učební text k předmětu KFC/HS Heterogenní systémy



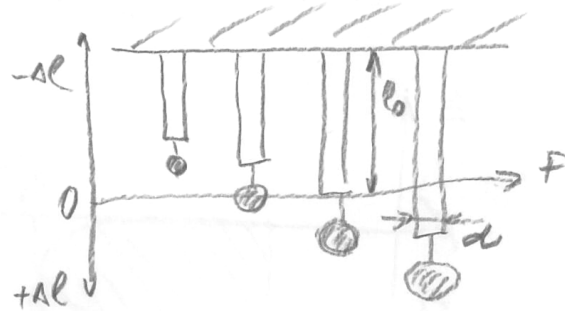
Obr. 14 Hystereze kontaktního úhlu



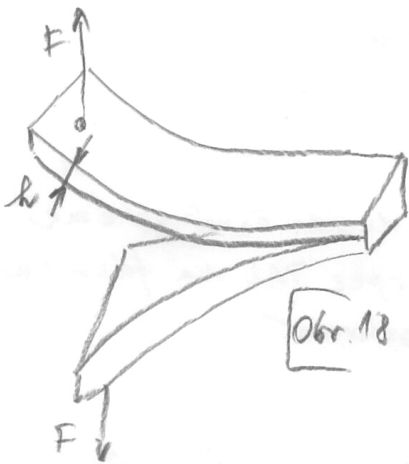
Obr. 15 Vstupný (α_a) a sestupný (α_r) kontaktní úhel



Obr. 16 Metoda oscilujícího paprsku

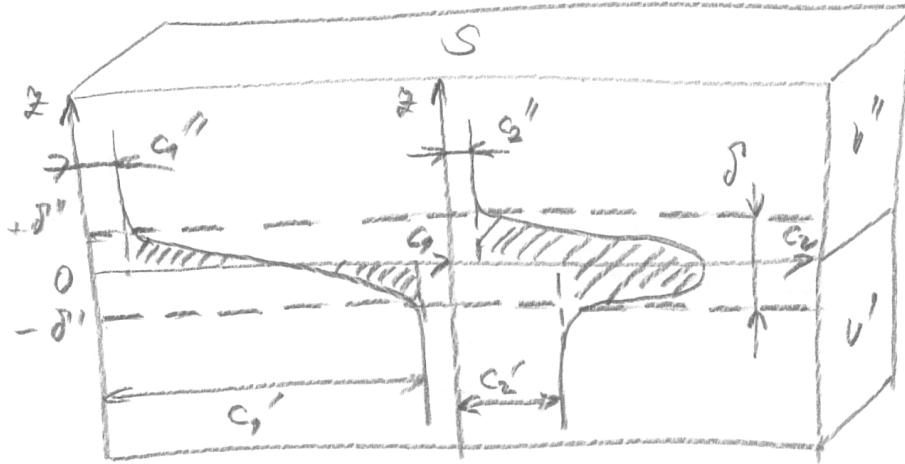


Obr. 17 Metoda Wilhelmyho těčen

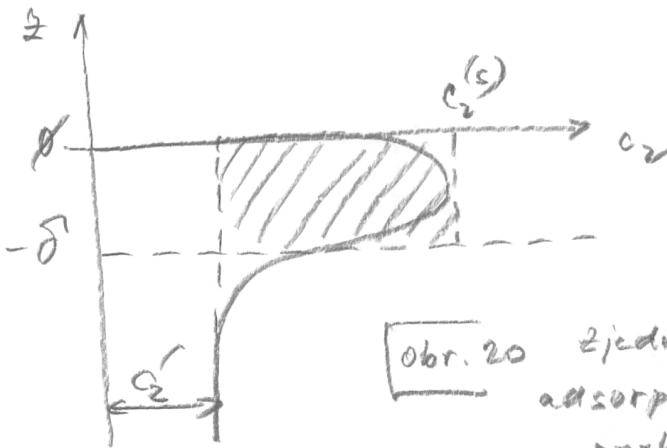


Obr. 18 Metoda stěpení

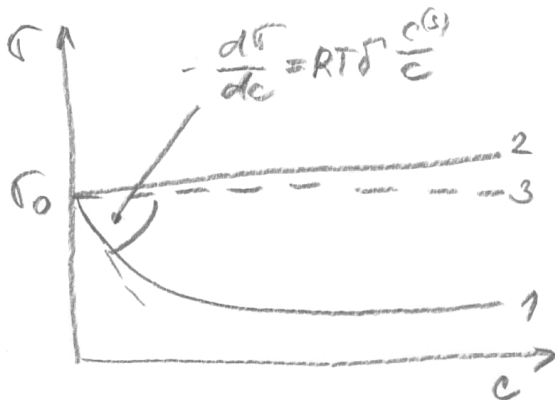
Obrázky pro učební text k předmětu KFC/HS Heterogenní systémy



Obr. 19 Adsorpce rozpouštědla (1) a povrchově aktivní látky (2) na fázovém rozhraní



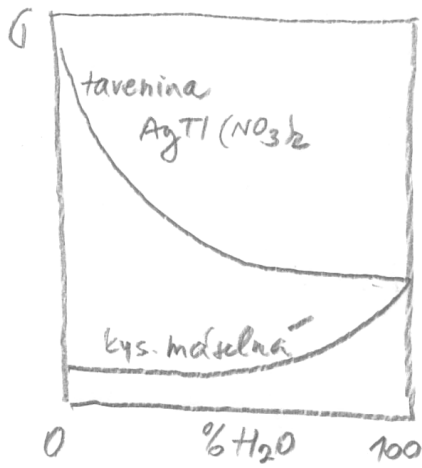
Obr. 20 Zjednodušené schéma adsorpce PAL na fázovém rozhraní



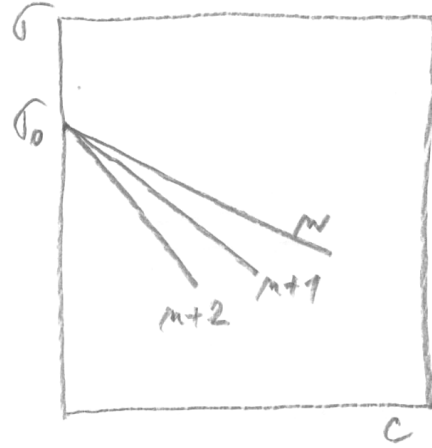
Obr. 21 Vliv různých látek na σ rozhraní

- ② elektrolyt
- ③ povrchově inaktivní l.
- ① PAL

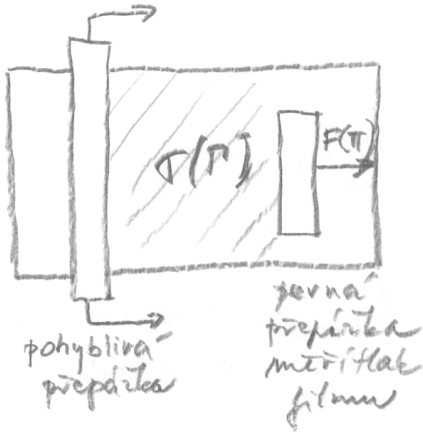
Obrázky pro učební text k předmětu KFC/HS Heterogenní systémy



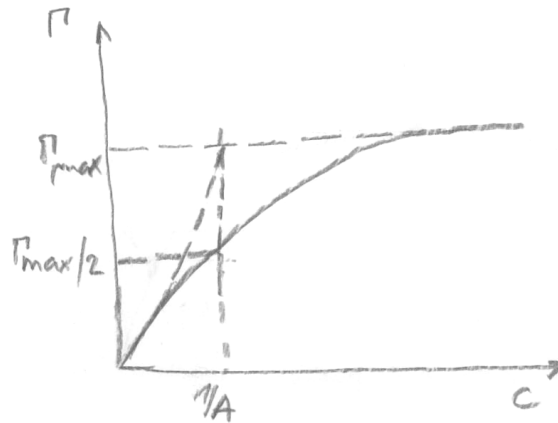
Obr. 22 Voda jako PAL
a jako rozpouštědlo



Obr. 23 Traubeho pravidlo

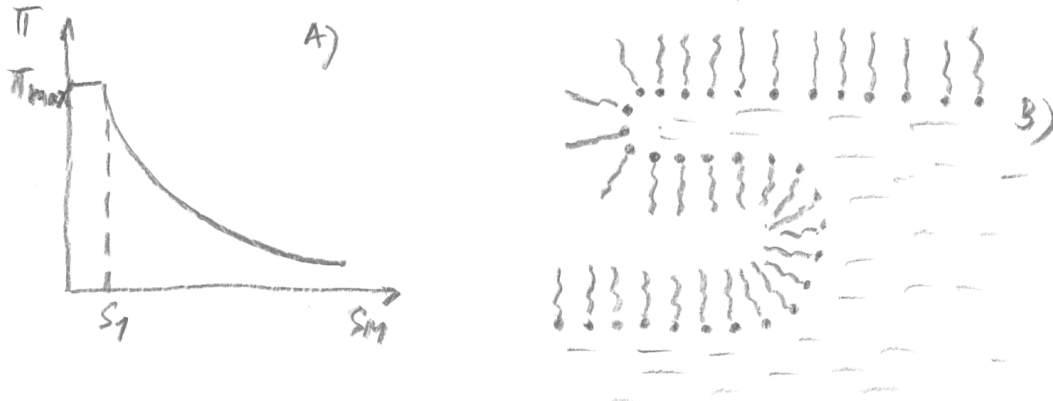


Obr. 24 Langmuirovy
povrchové váhy

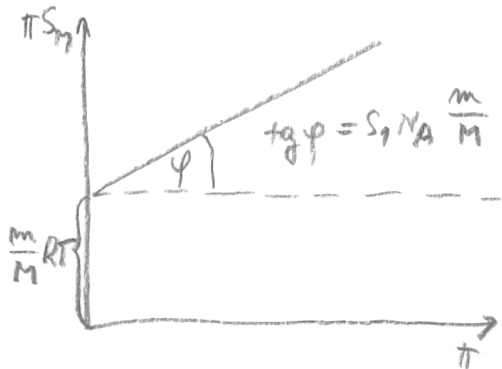


Obr. 25 Určení parametrů
Langmuirovy rovnice

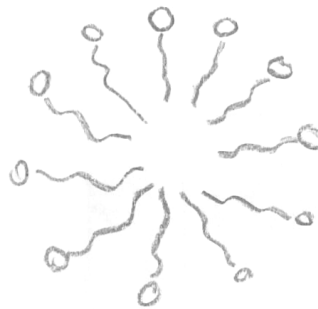
Obrázky pro učební text k předmětu KFC/HS Heterogenní systémy



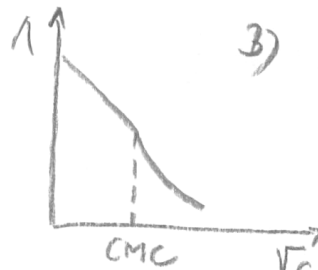
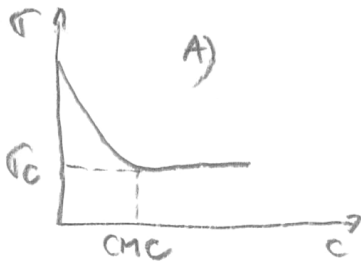
Obr. 26 A) Zdroislost tlaku v povrchové filmu na ploše, na kterou je stlačen
 B) Zhroucení povrchového filmu při π_{max}



Obr. 27 Stanovení M z tlaku povrch. filmu

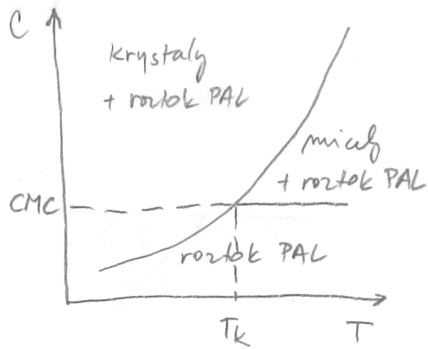


Obr. 28 Sférická micela

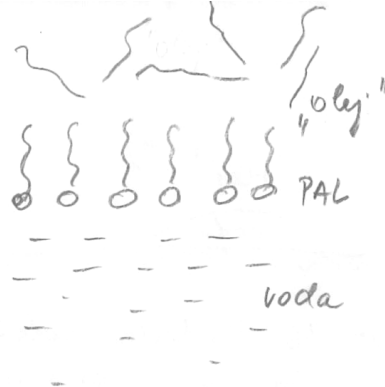


Obr. 29 Stanovení CMC z měření povrchové energie (A) a molární vodivosti

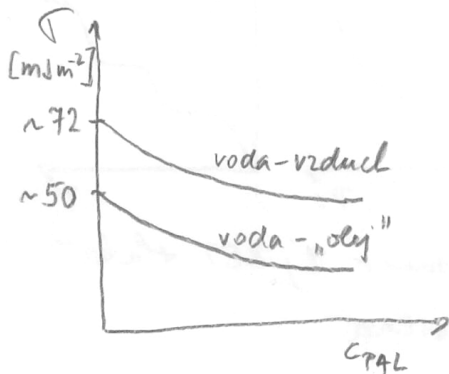
Obrázky pro učební text k předmětu KFC/HS Heterogenní systémy



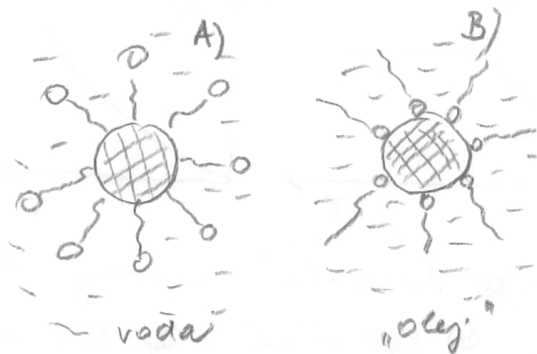
Obr. 30 Fázový diagram roztoku PAL s Krafftovým bodem T_k



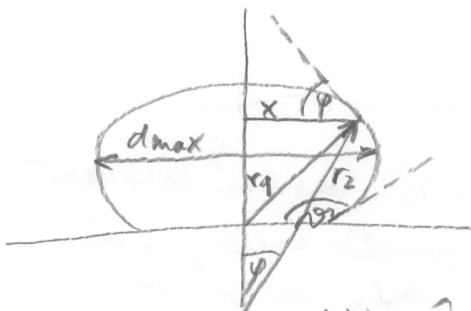
Obr. 31 Adsorpce PAL na rozhraní voda - „olej“



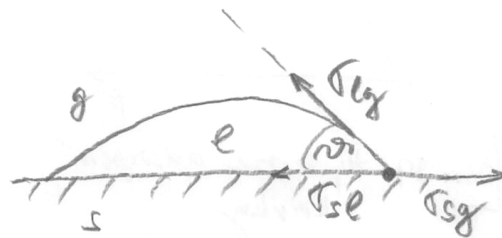
Obr. 32 Pokles povrchové energie daný adsorpcí PAL



Obr. 33 Adsorpce PAL na povrchu tuhé fáze pro různé polární kapalná prostředí



Obr. 34 Poloměry zakřivení pro kapku deformovanou v gravitačním poli



Obr. 35 Rovnováha na rozhraní tří fází

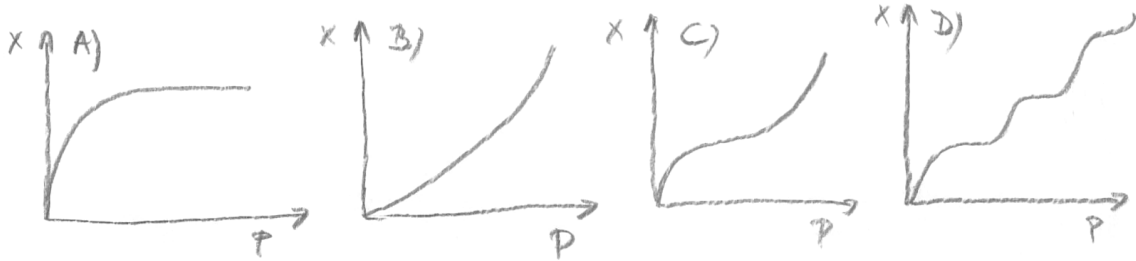
Obrázky pro učební text k předmětu KFC/HS Heterogenní systémy



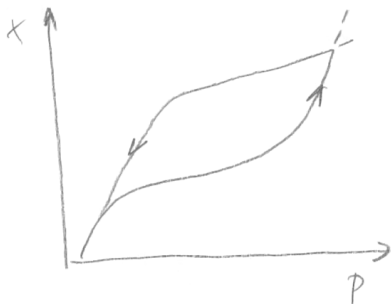
Obr. 36 Metoda selektivního smáčení. A) hydrofilní B) hydrofobní povrch



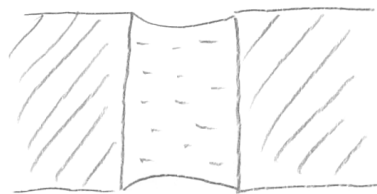
Obr. 37 Drsnost povrchu



Obr. 38 Adsorpční izotermy. A) Langmuir B) BET slabá C) BET silná D) BET velmi silná

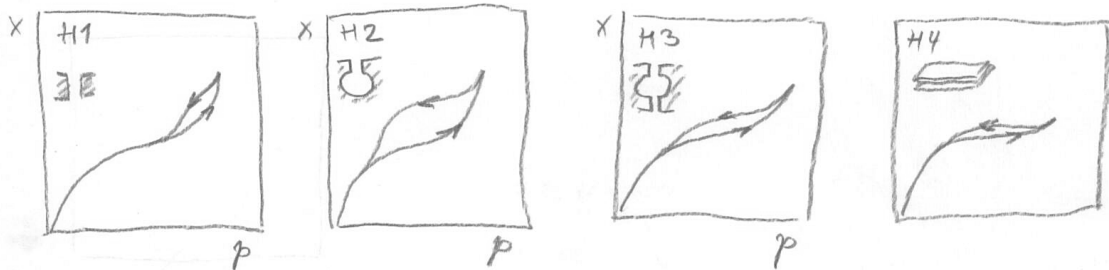


Obr. 39 Hystereze adsorpčních křivek



Obr. 40 Kondenzací zakřivení povrchu kapalin v póru tuhé látky (smáčení)

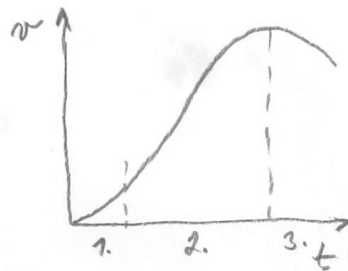
Obrázky pro učební text k předmětu KFC/HS Heterogenní systémy



Obr. 41 Vliv typu pórů na hysterese adsorpce. H1 trubkové
H2 a H3 lahvičkové a H4 desičkové póry



Obr. 42 Výška meniska
při heterogenní turbiditě
zdrodků



Obr. 43 kinetická křivka
topodemické reakce